

- [4] Воронов П. С. Очерки о закономерностях морфометрии глобального рельефа Земли. Л.: Наука, 1968. 122 с.
- [5] Шульц С. С. Планетарная трещиноватость (основные положения) // Планетарная трещиноватость. Л.: Изд-во ЛГУ, 1973. С. 5—37.
- [6] Камтерфельд Г. Н. Планетарная трещиноватость и линеаменты Земли, Венеры, Марса, Меркурия и Луны. СПб., Изд-во Междунар. фонда истории науки, 2000. 203 с.

Санкт-Петербург
Vladanokhin@yandex.ru

Поступило в редакцию
19 октября 2011 г.

Изв. РГО. 2011. Т. 143. Вып. 6

© И. Н. ДАВИДАН, Ю. П. КЛЕВАНЦОВ, В. А. РОЖКОВ, К. Г. СМИРНОВ, Д. М. СМИРНОВА

СИНОПТИЧЕСКАЯ ИЗМЕНЧИВОСТЬ И ПРОСТРАНСТВЕННАЯ НЕОДНОРОДНОСТЬ ПОЛЕЙ ВЕТРА И ВОЛНЕНИЯ В БАЛТИЙСКОМ МОРЕ

Остались в далеком прошлом оценки скорости ветра по состоянию поверхности моря (шкала Бофорта) и визуальные определения высот и периодов волн. Но даже такие данные удалось обобщить в виде справочника [¹]. Прошли даже те времена, когда были поставлены инструментальные измерения скорости ветра и возвышений поверхности моря в фиксированных точках. Они послужили основой для исследования ветра и волн на промежутке «квазистационарности», в частности для получения аппроксимативных выражений совместного распределения высот и периодов волн, а также для сопоставления визуальных оценок высот и периодов волн с обработкой инструментальных измерений [¹,²].

Промежуток квазистационарности. Реальное ветровое волнение является нестационарным и неоднородным вероятностным процессом, однако при анализе экспериментальных данных для упрощения расчетов вероятностных характеристик допускаются стационарность и однородность волнового поля в пределах определенного промежутка времени и участка пространства.

В работе [²] показано, что волновое поле на отрезке времени 20 мин и участке поверхности моря порядка 10 км может удовлетворять условиям стационарности и однородности.

При этих допущениях распределения вероятностей значений высот h и периодов волн τ аппроксимируются законом

$$F(x) = P\{\zeta \geq x\} = \exp\left[-A\left(\frac{x}{\bar{x}}\right)^k\right], \quad (1)$$

где \bar{x} — среднее значение, A и k — параметры.

Высоты волн подчинены закону Релея ($A = 0.785$, $k = 2$), периоды волн — закону Вейбула (при $A = 0.712$, $k = 3$).

В иностранных работах, наряду с квантилями распределения высот волн, довольно часто используется понятие «значительная» (significant) высота (h_s), интерпретируемая как среднее значение 1/3 наиболее высоких волн. Из (1) следует, что $h_s = 1.6\bar{h}$. По данным Финского института мореведения в северной части моря 22.12.2004 г. при $\bar{h}_s = 7.7$ м зарегистрирована волна высотой $h = 14$ м. В декабре 1999 г. дважды сделаны записи волн при $\bar{h}_s = 7.4$ м, в январе 1984 г. — при $h_s = 7.7$ м. В Финском заливе около Хель-

синки 15.11.2001 г. при $h_s = 5.2$ м зарегистрирована волна $h = 9$ м. В южной части Ботнического залива в 1970 г. при $h_s = 5.5$ м — волна $h = 10$ м [10].

В настоящее время информационная база данных о ветре и волнении представлена в виде архива значений поля скорости ветра $\vec{V}(\vec{r}, t)$ $\vec{r} \in R$ в узлах r заданной сеточной области R в синоптические сроки t [11] и значений частотно(ω)-направленной(θ) спектральной плотности волнового поля $S(\omega, \theta, \vec{r}, t)$, вычисленной по гидродинамической модели по полю ветра [3].

Обычно спектральную плотность волнения представляют в виде

$$S(\omega, \theta) = S(\omega)Q(\omega, \theta), \quad (2)$$

произведения частотного спектра $S(\omega)$ на функцию углового распределения $Q(\omega, \theta)$. Моменты частотного спектра определяются как

$$m_k = \int \omega^k S(\omega) d\omega. \quad (3)$$

Тогда m_0 — дисперсия волнового процесса, $\bar{h} = \sqrt{2\pi m_0}$, $h_s = 4\sqrt{m_0}$, $\bar{\omega} = m_1 / m_0$ — средняя частота; средний период волн может быть определен двояко: либо $\bar{\tau} = 2\pi / \bar{\omega}$, либо $\bar{\tau} = 2\pi\sqrt{m_0 / m_2}$.

Среднее направление распространения волн определяется [4] как

$$\bar{\theta} = \operatorname{arctg}(\sin \bar{\theta} / \cos \bar{\theta}), \sin \bar{\theta} = \iint \sin \theta S(\omega, \theta) d\omega d\theta, \cos \bar{\theta} = \iint \cos \theta S(\omega, \theta) d\omega d\theta.$$

Следовательно, возможные значения индивидуальных волн на промежутке квазистационарности получают по аппроксимативным выражениям распределений высот и периодов волн по заданным параметрам \bar{h} , $\bar{\tau}$, вычисленным по спектру $S(\omega, \theta, \vec{r}, t)$.

В зависимости от выбранной (параметрической или непараметрической) модели расчета волн по полям ветра дальнейший статистический анализ ансамбля реализаций поля волн может обсуждаться в терминах многомерной случайной или функции (4) или величины (5):

$$S(\omega_i, \theta_j, \vec{r}_k, t_s), \quad (4)$$

$$\begin{pmatrix} \bar{h} \\ \bar{\tau} \\ \bar{\theta} \end{pmatrix} \quad . \quad (5)$$

Синоптическая изменчивость волн и ветра. Ветровое волнение является мелкомасштабным гидрометеорологическим процессом с характерным времененным масштабом несколько секунд и пространственным масштабом до нескольких десятков метров. Условия волнообразования меняются в течение нескольких часов или суток из-за движения барических образований, а также (за более продолжительное время) из-за вариации макромасштабных циркуляционных атмосферных процессов. Поэтому мелкомасштабный процесс волнения приобретает синоптическую изменчивость (штормовые условия, окна погоды). Синоптическая изменчивость ветра обусловлена генезисом циклонов (антициклонов) и динамикой этих барических образований, которая подвержена годовой ритмике и межгодовой модуляции.

Цель настоящей работы сформулирована в названии статьи.

Поля скорости ветра на высоте 10 м взяты из европейского реанализа метеорологических полей с пространственным разрешением 0.25° , поля высот волн вычислены по полям ветра по параметрической спектральной модели [3] для района центральной части Балтийского моря. Район расположен между 55.25 и 56.75° с. ш., 17.25 и 20.75° в. д.,

имеет размеры 222.6 км по широте и 167.0 км по долготе; сеточная область состоит из $15 \cdot 7 = 105$ точек. Длина реализации 30 лет (1978—2007 гг.), интервал дискретности 3 ч (синоптические сроки).

На рис. 1 приведены временные ряды высот волн \bar{h} и модуля скорости ветра $V(t)$ для центральной точки района. По виду реализаций $\zeta(t)$ на рис. 1 их можно отнести к классу нестационарных, периодически модулированных (в диапазонах сезонной и межгодовой изменчивости) случайных процессов мультиплексного вида

$$\zeta(t) = \eta(t)\xi(t), \quad (6)$$

где $\xi(t)$ — периодически-коррелированный случайный процесс (ПКСП) с годовой ритмикой^[6], $\eta(t)$ — стационарный случайный процесс, характеризующий синоптическую изменчивость волнения и ветра.

Для оценивания вероятностных характеристик процесса $\zeta(t)$ представим реализацию $\zeta(t)$ в виде ансамбля из 30 отрезков годовой продолжительности, т. е. по $365 \cdot 8 = 2920$ значений в каждом отрезке. Для иллюстрации справедливости гипотезы (6) на рис. 2 представлено семейство квантилей $\{h_{\min}^*, h_{0.25}^*, h_{0.5}^*, h_{0.75}^*, h_{\max}^*\}$ в виде «ящиков с усами». Эти квантили для каждого суток вычислены по одноименным дням годовых выборок за все 30 лет. Из рис. 2 видно, что центр распределения (медиана $h_{0.5}^*$) уменьшается в теплый сезон года и увеличивается в холодный сезон, а его масштаб (размах $R^* = h_{\max}^* - h_{\min}^*$ или интерквартильное расстояние $Q^* = h_{0.75}^* - h_{0.25}^*$) изменяется когерентно с медианой, т. е. межгодовая модуляция зависит от сезона.

Для верификации модели (6) определим процесс $\eta(t)$ как

$$\eta(t) = \frac{\zeta(t) - m^*(t)}{\sqrt{D^*(t)}}, \quad (7)$$

где * обозначает значение соответствующей оценки $m^*(t)$, $D^*(t)$ (математического ожидания и дисперсии) процесса $\zeta(t)$. Преобразование (7) исключает сезонную изменчивость за счет центрирования на среднее значение и нормировки на среднее квадратическое значение, т. е. по сути $\eta(t)$ является демодуляцией процесса $\zeta(t)$. Реализация процесса $\eta(t)$ представлена на рис. 3 для ветра и волн (в безразмерных величинах).

Демодулирующее преобразование (7) позволяет отнести $\eta(t)$ к классу стационарных случайных процессов, поскольку его математическое ожидание $m(t)$ и дисперсия $D(t)$ не меняются во времени. Процесс $\eta(t)$ имеет коррелограмму экспоненциально-косинусного вида, представленную на рис. 4. В работах [8, 9] показано, что такого вида коррелограммы характерны для синоптической изменчивости и могут быть аппроксимированы процессом авторегрессии — скользящего среднего (APCC) порядка (2, 1). Поэтому и демодулированную последовательность высот волн и скорости ветра в синоптические сроки можно считать процессом этого же класса.

Годовая ритмика и межгодовая изменчивость волн и ветра. Аддитивной составляющей межгодовой изменчивости называют последовательность среднегодовых значений m_i ; среднегодовые значения высот волн и проекций вектора скорости ветра приведены в табл. 1. Аппроксимируем эту последовательность моделью линейной регрессии

$$m_i = \beta_0 + \beta_1 t_i + \varepsilon_i, \quad (8)$$

где β_0, β_1 — параметры, ε_i — белый шум.

Оценки этих параметров вычисляют по формулам [7]

$$\beta_1^* = \frac{\sum_i (t_i - \bar{t})(m_i - \bar{m})}{\sum_i (t_i - \bar{t})^2}, \quad \beta_0^* = \bar{m} - \beta_1^* \bar{t}. \quad (9)$$

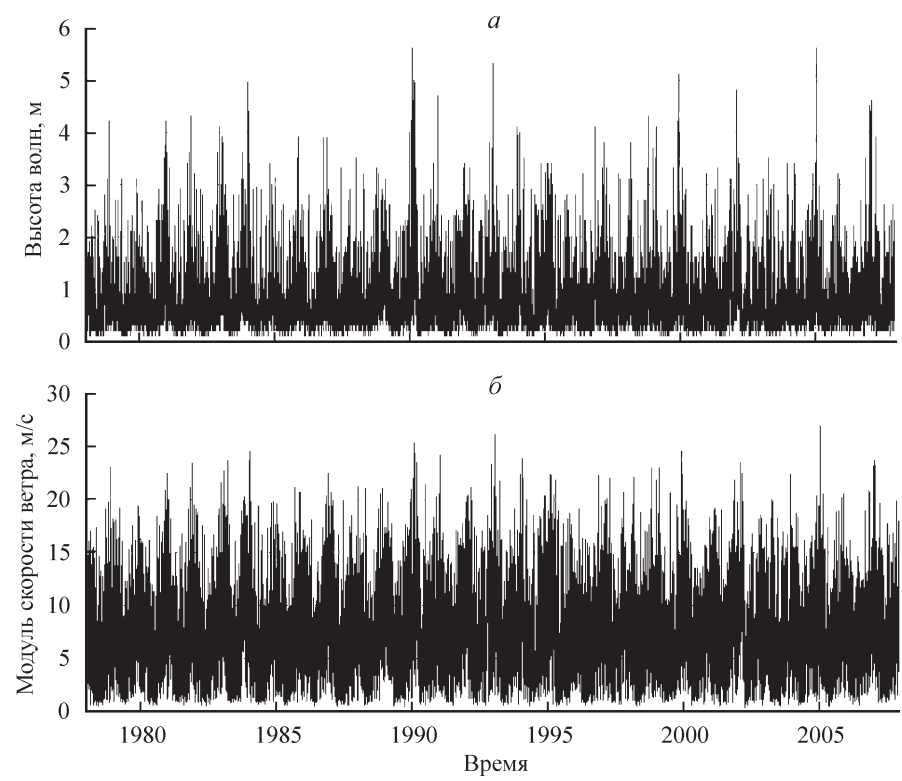


Рис. 1. Временные ряды средних высот волн (*а*) и модуля скорости ветра (*б*) в синоптические сроки.

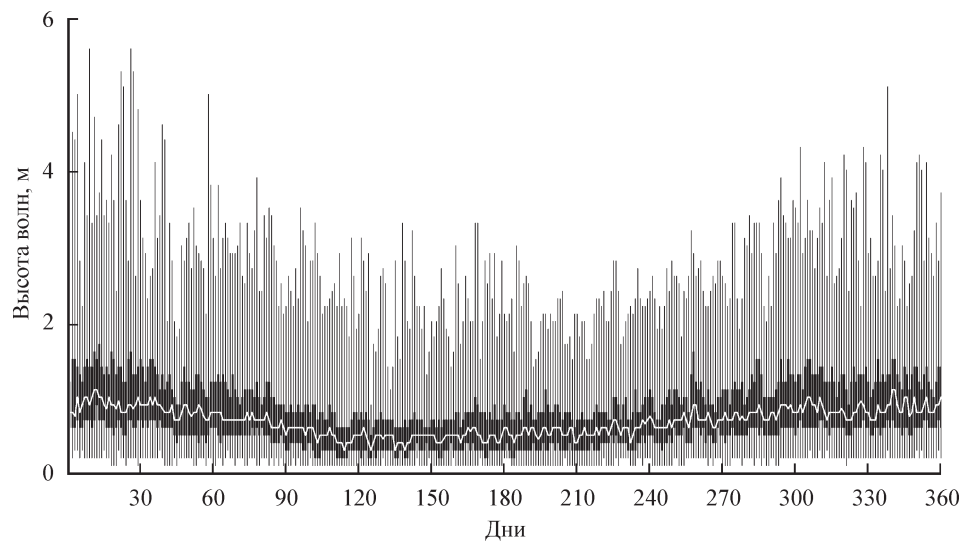


Рис. 2. Квантили ансамбля годовых отрезков временного ряда высот волн в календарные сроки.

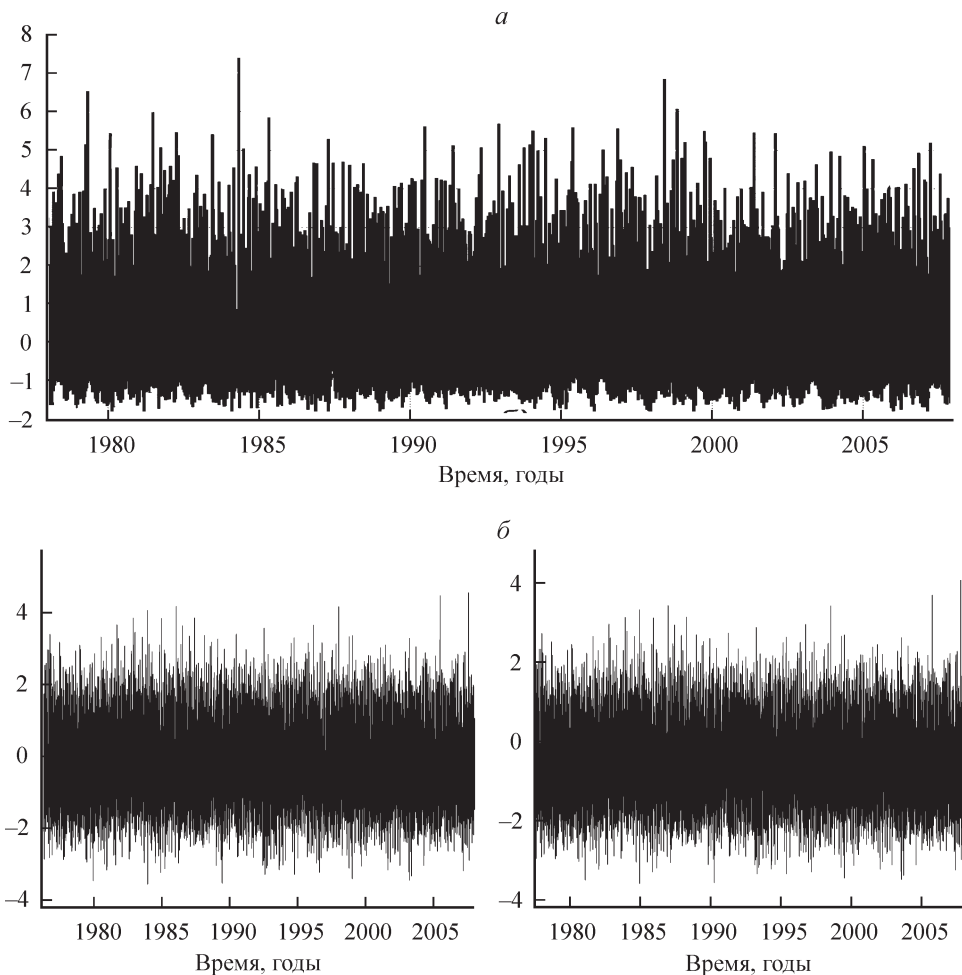


Рис. 3. Временные ряды процесса $\eta(t)$ для (безразмерных) высот волн (a), проекций скорости ветра (б).

Проверка гипотезы об отсутствии тренда ($\beta_1 = 0$) осуществляется по критерию Фишера (F) путем сопоставления величины

$$F^* = \frac{\sum_i (\hat{m}_i - m_i)^2}{s^2} \quad (10)$$

с квантилем распределения Фишера $F(1, n-2)$ с 1 и $n-2$ степенями свободы. В (10) $s^2 = \frac{1}{n-2} \sum_i (m_i - \bar{m})^2$ — средняя сумма квадратов отклонений от регрессии $\hat{m}_i = \beta_0^* + \beta_1^* t_i$.

Другой критерий основан на значении коэффициента «детерминации» $R^2 = 1 - \frac{\sum_i (\hat{m}_i - \bar{m})^2}{\sum_i (m_i - \bar{m})^2}$, интерпретируемого как доля разброса значений m_i , объясняемая регрессией, по сравнению с общей дисперсией [7].

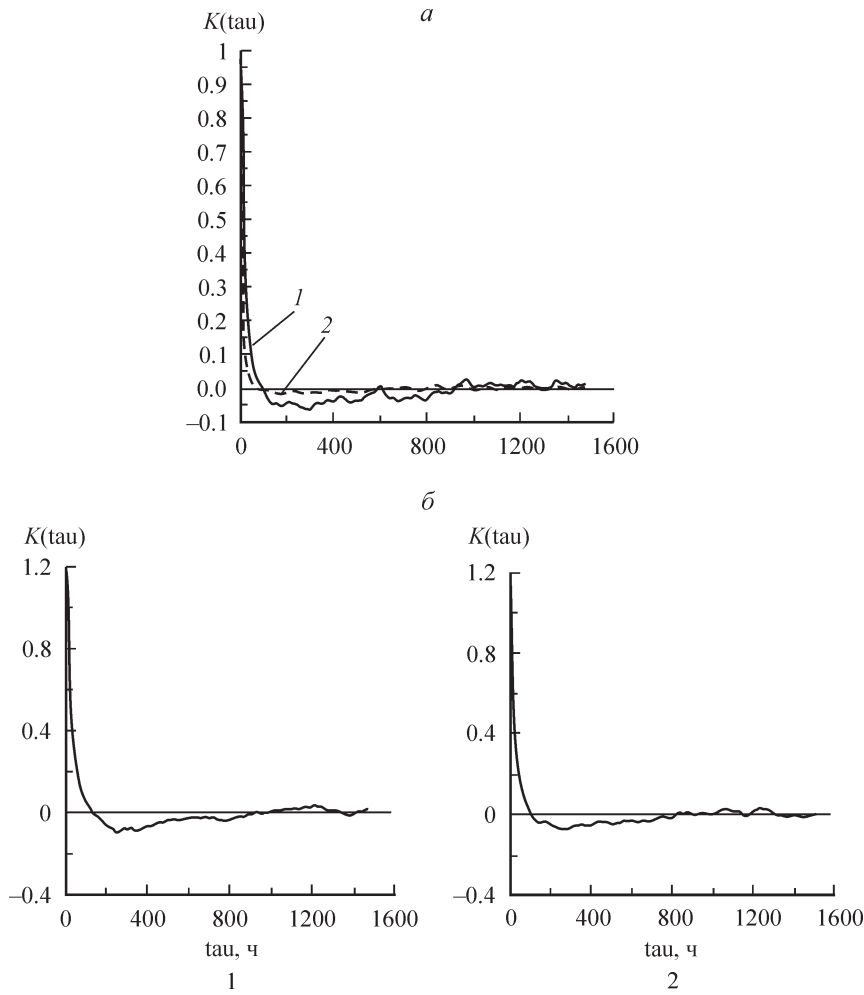


Рис. 4. Коррелограммы демодулированных временных рядов.
а — высот волн (1), модуля скорости ветра (2); б — проекций скорости ветра на меридиан (1) и на параллель (2).

Согласно табл. 1, временной ряд среднегодовых значений высот волн не имеет тренда, а ряд проекций скорости ветра имеет тренд: для v_1 — положительный, для v_2 — отрицательный.

Исходя из табл. 1 можно сделать следующие выводы.

— Среднее многолетнее значение высот волн $\bar{m}_h = 0.81$ м, СКО $\sigma_h = 0.05$ м, коэффициент $\beta_1 = 0$.

— Для проекций скорости ветра $m_{v_1} = -0.7$ м/с, $m_{v_2} = -2.3$ м/с, СКО = 0.6 и 0.8 м/с соответственно, коэффициент $\beta_1 = 0$ принимается по критерию Фишера.

— При $\beta_1 = 0$ не следует использовать критерий R^2 , так как наиболее просто интерпретировать ε в (8) как шум с нулевым математическим ожиданием и СКО, оцениваемым по временному ряду среднегодовых значений, т. е. $m_i = 0.81 \pm 0.05$,

$$\begin{pmatrix} v_1 \\ v_2 \end{pmatrix} = \begin{pmatrix} -0.7 \pm 0.6 \\ -2.3 \pm 0.8 \end{pmatrix}.$$

— Средняя многолетняя скорость ветра $\vec{m}_{\vec{v}} = (2.4 \text{ м/с}, 254^\circ)$.

Инварианты тензора СКО, характеризующие межгодовую изменчивость среднегодовых значений скорости ветра, равны: линейный инвариант $I_1 = 1$ м/с, длины большой

Таблица 1

Среднегодовые значения высот волн h , проекций на меридиан v_1 и параллель v_2 вектора скорости ветра, модуля скорости и направления ветра

Год	h , м	v_1 , м/с	v_2 , м/с	$ v $ м/с	φ°
1978	0.77	0.08	-1.4	1.4	273
1979	0.76	-1.58	-1.59	2.24	225
1980	0.77	-0.29	-1.28	1.31	257
1981	0.79	-0.35	-1.62	1.66	258
1982	0.75	-1.67	-2.65	3.13	238
1983	0.95	0.16	-3.68	3.68	272
1984	0.78	-1.55	-1.2	1.96	218
1985	0.77	-0.47	-2.39	2.44	259
1986	0.82	-1.59	-2.69	3.13	239
1987	0.72	-0.6	-1.28	1.41	245
1988	0.82	-1.07	-2.45	2.67	246
1989	0.82	-0.78	-3.44	3.52	257
1990	0.94	-1.36	-3.79	4.03	250
1991	0.81	-0.64	-2.64	2.71	256
1992	0.84	-0.29	-2.64	2.65	264
1993	0.85	-0.55	-2.11	2.18	255
1994	0.82	-1.04	-2.8	2.98	250
1995	0.83	-0.43	-2.71	2.74	261
1996	0.71	-0.53	-0.19	0.56	200
1997	0.81	0.27	-2.83	2.85	275
1998	0.85	-0.97	-3.04	3.19	252
1999	0.81	-1	-2.75	2.92	250
2000	0.79	-1.61	-2.68	3.12	239
2001	0.80	-0.24	-2.03	2.05	263
2002	0.80	-0.13	-1.51	1.52	265
2003	0.77	0.08	-2.19	2.19	272
2004	0.81	-0.4	-2.82	2.85	262
2005	0.81	-0.48	-1.98	2.04	256
2006	0.74	-1.05	-2.19	2.42	244
2007	0.83	-0.25	-2.8	2.81	265

λ_1 и малой λ_2 полуосей эллипса СКО равны 0.8 и 0.6 м/с соответственно, их отношение $\chi = 0.7$; большая ось имеет направление $\alpha = 262^\circ$, т. е. близка к направлению вектора $\vec{m}_{\vec{v}}$, коэффициент изменчивости $r = I_1 / |\vec{m}_{\vec{v}}| = 0.4$.

На рис. 5 представлены временные ряды среднемесячных значений высот волн и проекций скорости ветра, а также значения СКО их внутримесячных флюктуаций. На этих графиках видны годовая ритмика, обусловленная ежегодной повторяемостью смены сезонов года, и стохастичность годового образа, обусловленная межгодовой изменчивостью. Это дает основание их анализа в ПКСП-приближении для оценки математического ожидания $m(t)$, дисперсии $D(t)$ и ковариационной функции $K(t, \tau)$. Подчеркнем, что в этом приближении ряды среднемесячных значений центрируются на среднегодовые значения для исключения аддитивной составляющей межгодовой изменчивости, $m(t)$ интерпретируется как средний многолетний годовой ход, $D(t)$ — как модуляционная составляющая межгодовой изменчивости. Значения $m(t)$ и $\sigma(t) = \sqrt{D(t)}$ для волн и ветра приведены в табл. 2 и 3. Основной целью подиапазонного анализа изменчивости ветра и волн является разложение (с помощью операций фильт-

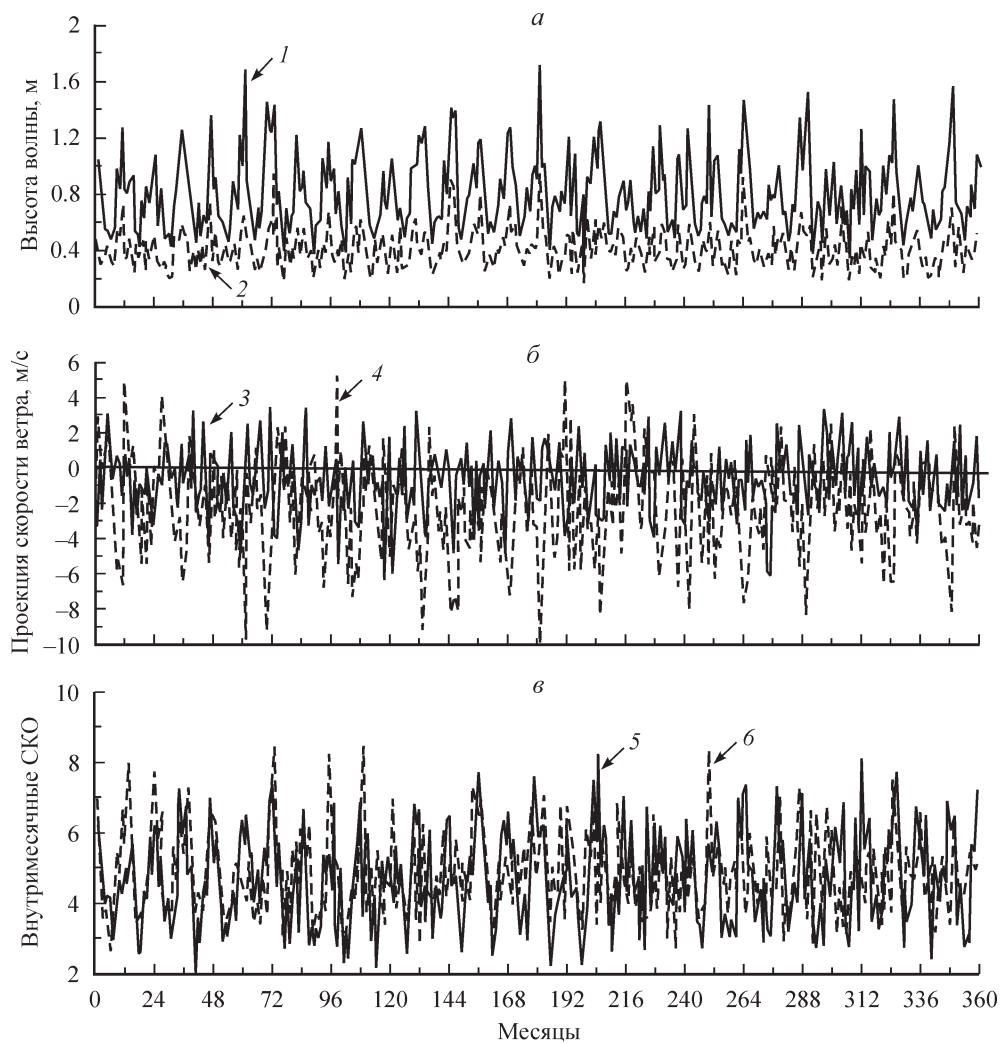


Рис. 5. Временные ряды среднемесячных значений.

a — высот волн и внутримесячных СКО (по среднесуточным значениям): 1 — средняя высота волн $m(t)$, 2 — СКО высот волн; *б* — проекций вектора скорости ветра: 3 — v_1 , 4 — v_2 ; *в* — внутримесячных СКО проекций вектора скорости ветра: 5 — v_1 , 6 — v_2 .

рации) временных рядов исходных данных на физически обоснованные (межгодовой, сезонный, синоптический) частотные диапазоны, позволяющие установить основные закономерности поведения реализаций (тренд, остаток, среднее, регрессия, дисперсия) в этих диапазонах. Однако, разложив единый процесс на такие составляющие и сформулировав вероятностные закономерности, присущие каждому диапазону изменчивости, всегда предполагается, что результаты анализа необходимо синтезировать (на основе вероятностной модели) и сопоставить с «нефильтрованными» данными. Поэтому в таблицах приведены значения статистических оценок вероятностных характеристик ветра и волн, вычисленные по «не центрированным» данным.

Прокомментируем результаты анализа реализаций в ПКСП-приближении.

Обозначим через $Z(t)$ многомерную случайную функцию с компонентами $\zeta_i(t)$, каждая из которых представлена времененным рядом среднемесячных значений следующих случайных величин: 1) высот волн; 2) СКО их внутримесячных флюктуаций; 3),

Таблица 2

Значения $m(t)$ и СКО(t), вычисленные по среднемесячным (a) и по срочным (b) рядам высот волн h , проекций скорости ветра

Месяц	а) По среднемесячным рядам						б) По значениям СКО срочных рядов каждого месяца					
	Высота волн		Скорость ветра V				Высота волн		Скорость ветра V			
			проекция на меридиан (v_1)	проекция на параллель (v_2)	проекция на меридиан (v_1)	проекция на параллель (v_2)			проекция на меридиан (v_1)	проекция на параллель (v_2)	проекция на меридиан (v_1)	проекция на параллель (v_2)
	$m(t)$, м	СКО, м	$m(t)$, м/с	СКО, м/с	$m(t)$, м/с	СКО, м/с	$m(t)$, м	СКО, м	$m(t)$, м/с	СКО, м/с	$m(t)$, м/с	СКО, м/с
1	1.1	0.3	-0.9	2.0	-3.7	4.1	0.6	0.2	5.7	1.1	5.7	1.4
2	0.9	0.2	-0.2	2.1	-1.8	4.0	0.5	0.1	5.5	0.9	5.3	1.1
3	0.8	0.2	-1.0	2.0	-1.7	2.9	0.5	0.2	4.8	1.0	5.3	1.0
4	0.6	0.1	0.4	1.5	-0.4	1.8	0.4	0.1	4.4	1.0	4.1	0.7
5	0.5	0.1	-0.5	1.5	-0.4	1.5	0.3	0.1	3.5	0.6	3.9	0.8
6	0.6	0.1	-0.2	1.1	-1.9	1.6	0.4	0.1	3.6	0.7	4.0	0.9
7	0.6	0.1	-0.6	1.3	-2.7	1.6	0.4	0.1	3.4	0.7	4.1	0.8
8	0.7	0.1	-0.6	1.4	-2.7	2.0	0.4	0.1	3.8	0.6	4.5	0.8
9	0.8	0.2	-0.8	1.6	-3.1	2.7	0.5	0.1	4.7	0.8	5.0	0.8
10	0.9	0.2	-1.7	2.2	-3.1	2.5	0.5	0.1	5.3	1.0	5.4	1.2
11	1.0	0.2	-1.3	2.6	-3.0	2.8	0.5	0.2	5.7	1.3	5.5	1.2
12	1.0	0.2	-0.9	1.7	-3.3	3.0	0.5	0.1	6.0	1.0	5.5	1.0

Таблица 3

Значения $m_v(t)$ и СКО(t), вычисленные по среднемесячным значениям модуля, и направления скорости ветра (a) и по срочным значениям (δ) за 1978—2007 гг.

Месяц	Скорость ветра за 1978—2007 гг.								$I_1(t)$	
	a) по среднемесячным значениям									
	$m_v(t)$		СКО(t)							
	$ m_v (t)$, м/с	Dir° , $m_v(t)$	$I_1(t)$, м/с	$\lambda_1(t)$, м/с	$\lambda_2(t)$, м/с	$\chi(t)$	$\alpha^\circ(t)$	$r_j(t)$		
1	3.8	257	4.57	4.06	1.93	0.476	-86	1.57	9.04	
2	1.81	264	4.56	4.06	1.89	0.466	76	3.28	8.45	
3	1.91	240	3.55	2.86	2.00	0.697	86	2.54	7.87	
4	0.53	315	2.41	1.85	1.48	0.800	-78	6.33	6.65	
5	0.6	222	2.13	1.67	1.25	0.750	48	4.84	5.82	
6	1.95	265	1.97	1.72	0.88	1.509	64	1.33	6.00	
7	2.72	257	2.12	1.80	1.04	0.580	57	1.04	6.00	
8	2.75	257	2.45	2.02	1.32	0.652	74	1.21	6.52	
9	3.16	255	3.19	2.72	1.57	0.578	-88	1.36	7.53	
10	3.51	242	3.42	2.65	2.06	0.775	-59	1.34	8.38	
11	3.3	247	3.89	3.10	2.22	0.715	-51	1.61	8.81	
12	3.45	256	3.46	2.99	1.62	0.540	82	1.34	9.06	

4) проекций скорости ветра; 5), 6) СКО их внутримесячных флюктуаций; 7) скорости ветра; 8) тензора СКО значений ее внутримесячных флюктуаций.

Система этих временных рядов $Z(t)$ в ПКСП-приближении имеет ритмическую структуру, поскольку математическое ожидание $m_Z(t)$ и дисперсия $D_Z(t)$ меняются от сезона к сезону; $m_Z(t)$ характеризует годовой ход средних многолетних среднемесячных значений, $D_Z(t)$ — межгодовую модуляцию среднемесячных значений и СКО внутримесячных флюктуаций. Согласно табл. 2, средние высоты волн с сентября по март принимают значения от 0.8 до 1.1 м, с апреля по август — 0.5—0.7 м; среднее значение СКО внутримесячных флюктуаций высот волн составляет 0.5—0.6 м зимой и 0.3—0.4 м — летом; СКО межгодовых изменений средних высот волн — 0.1—0.3 м; межгодовые изменения СКО внутримесячных флюктуаций высот волн — 0.1—0.2 м во все сезоны года.

В терминах модели (6) 2, 4 и 6-й столбцы табл. 2 (a) характеризуют модуляционную составляющую межгодовой изменчивости (МСМИ) высот волн, а табл. 2 (б) дает представление о синоптической изменчивости волн, ее сезонной и межгодовой модуляции.

Согласно табл. 3, средняя скорость ветра колеблется по модулю от 3 до 4 м/с и по направлению от 240 до 260° в холодное время года, а в теплое время года — от 0.5 до 3 м/с для ЮЗ—СЗ румбов; межгодовая изменчивость модуля средних значений скорости ветра составляет около 3 м/с летом и до 6 м/с — зимой. Правая часть табл. 3 характеризует интенсивность синоптической изменчивости ветра в терминах линейного инварианта эллипса СКО, вычисленного по срочным значениям. Из табл. 3 видно, что синоптическая изменчивость в 2—3 раза превышает межгодовую.

Совместное распределение высот волн и скорости ветра. Поскольку исходные данные — результат модельного расчета волн по полям ветра, то статистическая зависимость между h и \bar{V} постулирована в каждый из синоптических сроков и должна прослеживаться в сезонном и межгодовом диапазонах изменчивости.

Таблица 4
Зависимость высот волн от скорости ветра по румбам*

Румбы	h_{cp}	h_{max}	σ_h	$ V $	$ V _{max}$	$\sigma_{ V }$	Cor	N
<i>N</i>	0.8	3.5	0.6	7.8	23.0	4.1	0.94	8448
<i>NO</i>	0.7	3.3	0.5	7.0	20.0	3.6	0.94	7448
<i>O</i>	0.6	2.2	0.3	6.4	19.4	3.2	0.94	6624
<i>SO</i>	0.6	2.4	0.3	6.9	19.1	3.2	0.94	8692
<i>S</i>	0.7	4.2	0.4	7.3	22.4	3.4	0.95	10715
<i>SW</i>	0.9	5.6	0.6	8.1	25.3	3.8	0.94	16748
<i>W</i>	1.0	5.6	0.7	8.6	27.3	4.0	0.94	19725
<i>NW</i>	0.8	4.0	0.5	7.8	22.9	4.0	0.96	952.6

Примечание. *Объем выборки $N=87656$, высоты волн в м, модуль скорости в м/с.

Распределение можно представить в виде

$$f(h, |V|, \varphi) = f(h, |V|/\varphi) f(\varphi), \quad (11)$$

где скорость ветра \vec{V} имеет модуль $|V|$ и направление φ . Первый сомножитель в правой части (11) — условная плотность двумерного распределения высот волн и модуля скорости ветра при заданном φ , второй сомножитель — плотность распределения направления ветра. В табл. 4 приведены параметры (средние значения, оценки СКО) маргинальных распределений величин h и V , а также коэффициенты корреляции между ними для восьми секторов направлений ветра. В правом столбце указаны объемы выборок распределения случайной величины φ по румбам.

Из табл. 4 видно, что наиболее вероятен ветер западных, юго-западных и южных направлений, коэффициенты корреляции между h и V равны 0.94—0.96 для всех румбов, наибольшие высоты волн 5.6 м обусловлены скоростью ветра 25—27 м/с ЮЗ и З направлений.

Синоптическая изменчивость высот волн характеризуется последовательностью импульсов случайного процесса $h(t)$, параметризуемых случайными величинами $\{h^{(+)}, \tau^{(+)}, h^{(-)}, \tau^{(-)}\}$, описывающими величину (h) и продолжительность (τ) шторма (выброса вверх, «+») и окна погоды (выброса вниз, «-») от заданного (например, среднего) уровня \bar{h} [5].

Используем эту параметризацию для выделения наиболее значительного шторма в каждом году из 30 (табл. 5). За средний уровень принятая средняя высота волн в конкретный месяц каждого года, а за $h^{(+)}, \tau^{(+)}$ — наибольшее превышение высот волн над этим уровнем и время пребывания реализации выше этого уровня; поэтому наибольшие высоты волн составляют 3—4 м, а продолжительность шторма — от 1 до 5 сут. Для согласования с табл. 4 здесь же приведена другая параметризация, при которой под штормом понимается участок реализации от наиболее низкой высоты волн в предшествующем и последующем окнах погоды; теперь наибольшие высоты волн в тех же штормах достигают 5.6 м, шторм длится дольше, а промежуток времени до следующего шторма (любой интенсивности) довольно мал.

Пространственная неоднородность полей волн и ветра.

Высоты волн $h(r, t)$ в каждый момент времени t в области R образуют выборку $\{h_i\}, i = 1, \dots, 105$, характеризуемую набором из пяти квантилей $\{h_{min}, h_{0.25}, h_{0.5}, h_{0.75}, h_{max}\}$ в виде «ящиков с усами». На рис. 6, d представлен временной ряд квантилей высот волн в заданный месяц конкретного года.

Из рисунка видно, что в один и тот же момент времени в одной из частей области наблюдается шторм, а в другой — окно погоды, т. е. поле волн неоднородно и кван-

Таблица 5
Сильные штормы за 1978—2007 гг.

Год	Месяц	День	Срок	Центрированные данные		Исходные данные					б) В области (относительно уровня 0.9 м — медиана распределения max квантиля)				
				h^+ max, м	τ^{+} , ч	h^+ max, м	τ^{+} , ч	τ^{-} , ч	$ V $, м/с	ϕ °	Месяц внутри года	День	Срок, ч	h^+ , м	τ^{+} , ч
1978	11	16	21	2.9	96	4.2	306	80	23.0	259	11	17	0	4.9	117
1979	5	1	3	2.6	78	3.1	215	207	15.5	242	11	27	12	3.9	72
1980	12	16	3	3.0	24	4.2	381	6	22.4	237	12	16	6	4.4	39
1981	11	24	21	3.1	90	4.3	105	6	22.5	255	11	1	9	5	84
1982	12	16	18	3.1	63	4.1	78	15	21.5	260	12	16	21	4.8	69
1983	1	29	21	2.5	33	3.8	66	7	22.2	271	1	18	21	5.3	138
1984	1	4	3	3.6	93	5	153	12	24.4	233	1	4	3	5.6	111
1985	11	11	9	2.8	57	3.9	114	66	20.6	254	11	11	15	4.5	93
1986	10	21	15	2.9	63	3.9	231	9	18.7	248	12	2	15	4.7	309
1987	6	17	18	2.7	96	3.3	105	117	18.8	233	12	30	18	4	48
1988	1	3	9	2.5	108	3.5	135	4	21.2	247	1	3	9	3.8	123
1989	12	20	6	2.9	24	4	102	7	20.8	262	12	20	9	4.4	99
1990	1	26	21	4.2	57	5.6	189	7	25.0	239	1	26	21	6.1	165
1991	1	11	6	3.5	102	4.7	207	6	23.2	259	1	11	9	5.1	201
1992	12	3	18	2.9	78	3.8	93	6	22.7	243	12	3	21	4.3	84
1993	1	22	18	3.7	72	5.3	93	4	25.2	260	1	22	21	6.3	231
1994	1	23	6	2.9	159	4	168	10	22.2	279	1	24	3	4.8	186
1995	3	25	21	2.4	63	3.4	168	9	20.4	260	2	7	18	4.6	132
1996	11	7	12	3.1	174	4.1	219	6	22.1	253	11	7	12	4.5	342
1997	3	3	6	2.7	60	3.8	117	54	20.2	260	4	12	3	5.1	66

Таблица 5 (продолжение)

Год	Месяц	День	Срок	а) В точке								б) В области				
				Центрированные данные		Исходные данные						(относительно уровня 0.9 м — медиана распределения max квадтиля)				
				h^+ max, м	tau ⁺ , ч	h^+ max, м	tau ⁺ , ч	tau ⁻ , ч	V , м/с	ϕ °	Месяц внутри года	День	Срок, ч	h^+ , м	tau ⁺ , ч	
1998	10	29	0	3.2	63	4.3	171	99	22.9	264	10	29	3	4.9	174	
1999	12	4	9	3.8	39	5.1	57	6	24.1	250	12	4	12	5.6	384	
2000	12	14	3	2.4	72	3.2	81	304	18.0	244	1	30	15	4.3	138	
2001	5	18	18	2.6	72	3.3	87	111	19.0	247	11	1	6	4	426	
2002	1	29	12	3.5	33	4.8	48	22	23.5	280	1	29	15	6.4	60	
2003	12	6	15	2.4	84	3.4	120	11	21.4	9	5	4	9	4.3	36	
2004	3	21	18	2.5	90	3.4	126	18	18.3	248	11	18	18	4.4	57	
2005	1	9	3	4.2	159	5.6	180	4	27.3	257	1	9	6	6.4	336	
2006	10	27	15	2.6	54	3.5	70	11	20.3	261	11	2	9	4	114	
2007	3	19	6	3.2	111	3.9	48	20	19.5	227	1	14	21	5.6	225	

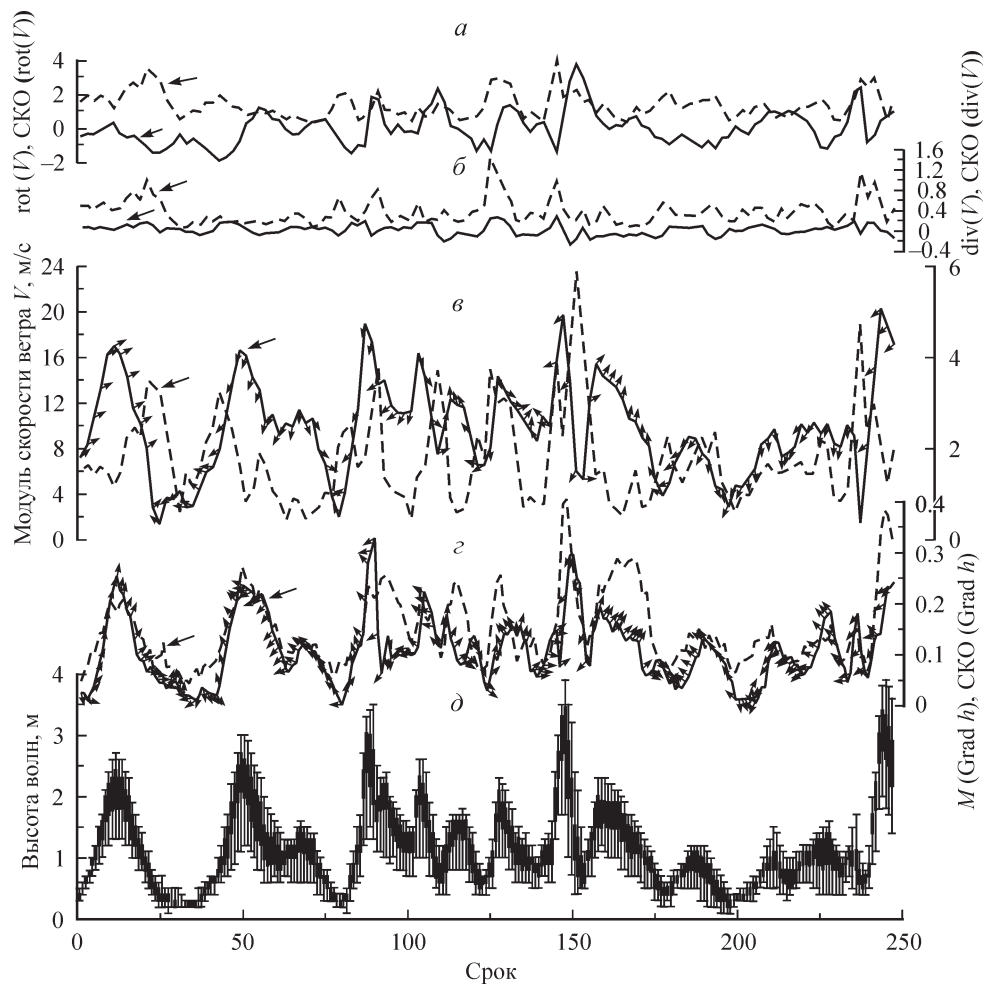


Рис. 6. Временные ряды статистических оценок вероятностных характеристик полей ветра и волн в центральной части Балтийского моря.

а — среднее значение (сплошная линия) и СКО (прерывистая линия) ротора поля ветра; *б* — среднее значение (сплошная линия) и СКО (прерывистая линия) дивергенции поля ветра; *в* — модуль (сплошная линия) и направление (стрелки) вектора поля скорости ветра, а также линейный инвариант тензора СКО значений скорости ветра (прерывистая линия); *г* — модуль (сплошная линия) и направление (стрелки) среднего вектора градиента поля волн, а также линейный инвариант тензора СКО значений градиента (прерывистая линия); *д* — квантильные трассы высот волн.

тильная степень неоднородности волнения меняется во времени. Например, во время шторма в январе 2007 г. в разных точках района наблюдался в один и тот же момент размах значений высот волн от 1 до 5 м. Анализ квантильных трасс высот волн за 30 лет показал, что медиана распределения верхнего квентиля составляет 0.9 м. В табл. 5, *б* приведены (для сравнения с табл. 5, *а*) величины превышения этого уровня. Очевидно, что разнообразие волн в поле больше, чем в фиксированной точке.

Градиент высот волн. Скалярному полю $h(r,t)$ можно поставить в соответствие поле векторов градиента высот волн $\vec{\nabla}h(\vec{r},t)=\frac{\partial h}{\partial x}\vec{i}+\frac{\partial h}{\partial y}\vec{j}$, где $\vec{\nabla}\equiv\frac{\partial}{\partial x}\vec{i}+\frac{\partial}{\partial y}\vec{j}$ — оператор градиента; \vec{i}, \vec{j} — базисные орты (ось X направлена на север, ось Y — на восток).

В области \mathbf{R} частные производные $\frac{\partial h}{\partial x}$ и $\frac{\partial h}{\partial y}$ заменены конечными разностями
 $\frac{\partial h}{\partial x} = \frac{1}{\Delta x} (h_{ij} - h_{i-1,j})$, $\frac{\partial h}{\partial y} = \frac{1}{\Delta y} (h_{ij} - h_{i,j-1})$.

Поле из 105 значений h_{ij} дает возможность вычислить 84 значения векторов градиента $\vec{\nabla}h = \begin{pmatrix} \frac{\partial h}{\partial x} \\ \frac{\partial h}{\partial y} \end{pmatrix}$ со средним значением вектора $\bar{m}_{\vec{\nabla}}$, представляемым в полярной системе координат в виде модуля $|\bar{m}_{\vec{\nabla}}|$ и направления $\phi_{\vec{\nabla}}$, и тензором дисперсии в декартовой системе координат $D_{\vec{\nabla}} = \begin{pmatrix} D_x & D_{xy} \\ D_{yx} & D_y \end{pmatrix}$, где D_x, D_y, D_{xy} — компоненты тензоров (дисперсии и ковариации).

На рис. 6, ε представлены векторы $\bar{m}_{\vec{\nabla}}$ в виде модуля $|\bar{m}_{\vec{\nabla}}|$ и направления ϕ° , а также линейный инвариант $I_{1,\vec{\nabla}}^{0.5}$ тензора СКО вектора $\vec{\nabla}_h$, вычисляемого по формуле $I_{1,\vec{\nabla}}^{0.5} = (D_x + D_y)^{0.5}$.

Эти характеристики являются основными показателями неоднородности и пространственной изменчивости поля высот волн. В данной работе их значения вычислялись через шаг сеточной области, длина этого шага принята за 1, поэтому $\vec{\nabla}_h$ — в метрах. По величине $\bar{m}_{\vec{\nabla}}$ около 0.1 м, но имеют СКО всего 0.04 м. Это означает, что за 10 шагов вполне объяснимо различие в средних значениях высот волн в 1 м (а это уже неоднородность поля волн).

Скорость ветра $V(r,t)$ в каждый момент времени t в области \mathbf{R} образует выборку векторов $\{V_i\}$, $i = 1, \dots, 105$, характеризуемую средним значением \mathbf{m}_V , представляется в виде модуля $|\mathbf{m}_V|$ и направления ϕ_V , и тензором СКО $I_{1,\vec{V}}^{0.5}$.

Следует обратить внимание на несовпадение оценок этих величин по временному ряду в точке и по району. В частности, средняя многолетняя скорость ветра в точке 2.4 м/с и 254°, а для поля — 2.3 м/с и 198°; СКО в точке 1 м/с, для поля — 7.6 м/с; векторный коэффициент вариации в точке 0.4, а для поля — 3.3. Даже такое примитивное сопоставление позволяет определить поле ветра как неоднородное.

Градиент скорости ветра. Векторному полю $V(r,t)$ можно поставить в соответствие поле тензоров градиента скорости ветра $Grad\vec{V} = \frac{\partial \vec{V}}{\partial \vec{r}} = \begin{pmatrix} \frac{\partial V_x}{\partial x} & \frac{\partial V_x}{\partial y} \\ \frac{\partial V_y}{\partial x} & \frac{\partial V_y}{\partial y} \end{pmatrix}$. Симметричная часть этого тензора имеет линейный инвариант $I_1 = div\vec{V} = \left(\frac{\partial V_x}{\partial x} + \frac{\partial V_y}{\partial y} \right)$, а кососимметрическая часть — инвариант $\Omega = \frac{1}{2} rot_z \vec{V} = \frac{1}{2} \left(\frac{\partial V_y}{\partial x} - \frac{\partial V_x}{\partial y} \right)$.

Эти инварианты — скалярные величины, при фиксированном t и при замене производных конечными разностями по 105 значениям V можно вычислить 84 значения величин I_1 и (2Ω) , найти их средние значения (m_{div}, m_{rot}) и СКО ($\sigma_{div}, \sigma_{rot}$); их графики приведены на рис. 6, a, b . Эти характеристики являются основными показателями неоднородности и пространственной изменчивости поля ветра. Здесь их значения вычислялись через шаг сеточной области, принятый за 1, поэтому все значения скорости ветра, ее проекций и производных даны в м/с.

Среднемесячные значения дивергенции изменяются в промежутке от -0.4 до 0.4 м/с, а внутримесячные СКО изменяются от 0.2 до 0.6 м/с. Это означает, что в данном районе наблюдается как конвергенция, так и дивергенция потоков воздуха, т. е.

усиление и ослабление ветра; особенно эти пульсации проявляются в отдельных шторах и окнах погоды.

Правосторонняя и левосторонняя завихренность поля скорости ветра (циклонического и антициклонического типа) имеет среднемесячные значения ± 0.15 м/с, внутримесячные СКО принимают значения 0.1—0.2 м/с, т. е. поле ветра можно принять за однородное, но с существенной пространственно-временной изменчивостью.

Выводы

В работе исследованы закономерности изменчивости полей ветра и волн в центральной части Балтийского моря, охарактеризована их неоднородность.

1. Временные ряды высот волн и скорости ветра можно отнести к классу нестационарных, периодически модулированных (в диапазонах сезонной и межгодовой изменчивости) случайных процессов мультипликативного вида (6). Поэтому для изучения синоптической изменчивости ветра и волн требуется применить к исходным данным демодулирующее преобразование (7).

2. Показано, что синоптическая изменчивость может быть представлена стационарным случайнм процессом АРСС (2, 1), а модулирующая функция — периодически-коррелированным случайнм процессом с годовой ритмикой.

3. Данна оценка регулярной составляющей годового хода, аддитивной и модуляционной составляющих межгодовой изменчивости, а также оценка их вклада в модуляцию синоптической изменчивости ветра и волн с использованием методов многомерного дисперсионного анализа.

4. Поскольку исходные данные есть результат модельного расчета волн по полям ветра, то статистическая зависимость между h и \vec{V} постулирована в каждый из синоптических сроков и должна прослеживаться в сезонном и межгодовом диапазонах изменчивости. Эта зависимость охарактеризована совместным распределением (11) высот волн и скорости ветра по румбам.

5. На примере района центральной части Балтийского моря показано, что принятое в современных справочниках по ветру и волнению эвристическое деление на квазиоднородные районы может быть подвергнуто дискриминации по их пространственной неоднородности и изменчивости, с использованием квантильных, дисперсионных и градиентных критериев.

Работа выполнена при поддержке федеральной целевой программы «Научные и научно-педагогические кадры инновационной России» на 2009—2013 гг.

Список литературы

- [1] Ветер и волны в океанах и морях. Справочные данные / Ред. И. Н. Давидан, Л. И. Лопатухин, В. А. Рожков. Л.: Регистр СССР. «Транспорт», 1974. 359 с.
- [2] Давидан И. Н., Лопатухин Л. И., Рожков В. А. Ветровое волнение как вероятностный гидродинамический процесс. Л.: Гидрометеоиздат, 1978. 287 с.
- [3] Давидан И. Н., Давидан Г. И., Дымов В. И., Пасечник Т. А. Спектрально-параметрическая модель ветрового волнения и ее преимущества при решении прикладных задач // Изв. РГО. 2009. Т. 141. Вып. 2. С. 11—23.
- [4] Давидан И. Н., Рожков В. А. и др. Вероятностный анализ пространственно-временной изменчивости полей волн // Тр. ГОИН. 2002. Вып. 208. С. 293—313.
- [5] Давидан И. Н., Клеванцов Ю. П., Рожков В. А., Смирнов К. Г., Смирнова Д. М. Совместный анализ пространственно-временных ансамблей ветра и волнения // Сб. научных работ 14 съезда РГО. 2010.
- [6] Драган Я. П., Рожков В. А., Яворский И. Н. Методы вероятностного анализа ритмики океанологических процессов. Л.: Гидрометеоиздат, 1987. 319 с.
- [7] Дрейпер Н., Смит Г. Прикладной регрессионный анализ. Т. 1. М.: Финансы и статистика, 1986; т. 2, 1987.

- [8] Рожков В. А., Рыбак О. О. Статистическое разнообразие режимных распределений высот волн // Изв. РГО. 2009. Т. 141. Вып. 6. С. 25—32.
- [9] Рожков В. А., Трапезников Ю. А. Вероятностные модели океанологических процессов. Л.: Гидрометеоиздат, 1990. 271 с.
- [10] Baltic sea portal: Wave height records in the Baltic Sea. Интернет-ресурс на <http://www.itameriporttaali.fi/en/tietoa/veden>.
- [11] Kalnay E. et al. The NCEP/NCAR 40-year reanalysis project // Bulletin of the American Meteorological Society. 1996. V. 77. N 3. P. 437—471.

Санкт-Петербург
idavidan@rambler.ru

Поступило в редакцию
21 июня 2011 г.

Изв. РГО. 2011. Т. 143. Вып. 6

© M. A. КЛУПТ

ИММИГРАНТСКИЕ МЕНЬШИНСТВА ЗАПАДНЫХ СТРАН: ГЕОДЕМОГРАФИЧЕСКАЯ ДИНАМИКА В 2000-е ГОДЫ

Интеграция иммигрантов из развивающихся стран в принимающие общества становится одной из наиболее острых проблем наступившего столетия. Цель данной статьи — охарактеризовать динамику численности иммигрантских меньшинств в западных странах, проанализировать определяющие ее демографические факторы, проследить изменения в расселении меньшинств по территории принимающих государств и отношение их населения к проблемам иммиграции в 2000-е гг.

Определение этническости в мировой статистической практике. Различия в методологии, используемой для фиксации характеристик, прямо или косвенно указывающих на этническую принадлежность, обусловлены историей страны, этническим составом ее населения, а также практическими соображениями, вытекающими из организации статистики. Наиболее существенное из таких различий состоит в том, что статистика США и Великобритании прямо фиксирует этническую принадлежность, тогда как статистика стран континентальной Западной Европы делает это лишь косвенно.

Статистикой США расовая принадлежность фиксируется начиная с первой в истории страны переписи, проведенной в 1790 г. [29]. При проведении переписей и опросов раса (*race*) и происхождение (*origin*) определяются на основе самоидентификации респондентов. Категория происхождения используется для выделения испаноязычных американцев, которые в свою очередь подразделяются — в зависимости от самоидентификации — на мексиканцев, кубинцев, сальвадорцев и т. д. При этом лица испаноязычного происхождения (*Hispanics, Latino or Spanish*) могут иметь различную расовую принадлежность. Происхождение не обязательно совпадает и с местом рождения — испаноязычный респондент, родившийся в США, может, например, определить свое происхождение как мексиканское или кубинское. Поэтому оказывается необходимым еще одно подразделение — лица, родившиеся в США или за границей у родителей-американцев, и лица, рожденные за границей.

Примером иного подхода является французская официальная статистика, в которой прямой вопрос об этническости табуирован. Тем не менее косвенное представление об этнотерриториальной структуре населения Франции можно составить, опираясь на данные об иммиграционном и иностранном населении этой страны. В первое включаются проживающие во Франции лица, рожденные нефранцузскими родителями за пре-